



قابلیت اطمینان آستانه وقوع فلاتر صفحه چندلایه کامپوزیتی

مسعود جوادی*، وحید خلفی

دانشکده مهندسی هواپیما، دانشگاه علوم و فنون هوایی شهید ستاری، تهران، ایران.

تاریخچه داوری:

دریافت: ۱۳۹۹/۰۸/۱۸

بازنگری: ۱۳۹۹/۱۲/۲۴

پذیرش: ۱۴۰۰/۰۱/۱۱

ارائه آنلاین: ۱۴۰۰/۰۱/۲۷

کلمات کلیدی:

صفحه کامپوزیتی

قابلیت اطمینان

مونت کارلو

فلاتر

روش دیفرانسیل مربعی

خلاصه: در کار حاضر قابلیت اطمینان آستانه وقوع فلاتر صفحه چندلایه کامپوزیتی با توجه به عدم قطعیت در متغیرهای شامل مدل الاستیک، ضربه پواسون، چگالی، ضخامت صفحه و طول صفحه بررسی شده است. صفحه موردنظر از چندلایه کامپوزیتی متقاضی شرایط مرزی مختلف است که در زیم پروازی مأمور بررسی صوت موربد بررسی قرار گرفته است. به منظور شبیه‌سازی رفتار حاکم بر صفحه چندلایه کامپوزیتی از نظریه کلاسیک ورق استفاده می‌شود؛ و اثر نیروهای آبرو دینامیکی توسط تئوری پیستون مرتبه اول مدل سازی شده است. به منظور گسسته‌سازی و تحلیل معادلات آبرو الاستیک حاکم بر صفحه از روش عددی دیفرانسیل مربعی تعیین یافته استفاده شده است. معادلات حاکم بعد از گسسته‌سازی، با استفاده از محاسبه و تحلیل مقادیر ویژه حل شده و آستانه وقوع پدیده فلاتر برای صفحه چندلایه کامپوزیتی به دست آمده است؛ به منظور بررسی قابلیت اطمینان، توزیع متغیرهای تصادفی به صورت توزیع نرمال استفاده شده است. درنهایت برای بدست آوردن قابلیت اطمینان آستانه وقوع فلاتر صفحه از روش شبیه‌سازی مونت کارلو برای پنج شرط مرزی مختلف استفاده شده است. با توجه به نتایج ارائه شده، مقدار قابلیت اطمینان آستانه وقوع فلاتر صفحه کامپوزیتی برای شرط مرزی تمام لولا بیشتر از سایر شرایط مرزی و شرط مرزی تمام گیردار کمتر از سایر شرایط مرزی خواهد بود. همچنین با توجه به بررسی های صورت گرفته در مورد وضعیت زاویه الیاف صفحه کامپوزیتی، می‌توان نتیجه گرفت با افزایش زاویه الیاف صفحه کامپوزیتی قابلیت اطمینان آستانه وقوع فلاتر افزایش می‌یابد.

۱- مقدمه

Riftarهای آبرو الاستیک صفحه کامپوزیتی برفرض معین و کامل بودن پارامترهای ساختاری است که معمولاً به عنوان تجزیه و تحلیل قطعی نامیده می‌شود، کارهای متعددی در این زمینه انجام شده است. سویر^۱ و همکاران [۲] فلاتر و کمانش صفحه کامپوزیتی با شرایط مرزی لولای ساده بر اساس تئوری کلاسیک ورق و تغییر شکل‌های کوچک با استفاده از روش گلرکین موربد بررسی قرارداد. عباس و همکاران [۳] فلاتر صفحه کامپوزیتی ارتوتروپیک را با درنظر گرفتن حرارت آبرو دینامیکی مطالعه کردند. همچنین چنگ و همکاران [۴] فلاتر صفحه کامپوزیتی در جریان مأمور صوت را با استفاده از روش اجزای محدود تحلیل کردند. از جمله کارهای مربوط به تحلیل آبرو الاستیک صفحه کامپوزیتی می‌توان به کار کوچک زاده و همکاران [۵] اشاره کرد. آن‌ها تحلیل آبرو الاستیک صفحه کامپوزیتی در جریان مأمور صوت با استفاده از روش گلرکین انجام دادند. فضیلتی و خلفی [۶] با استفاده از روش ایزوژئومتریک به تحلیل ناپایداری فلاتر صفحه

تداخل سه نوع نیرو ناشی از آبرو دینامیک، الاستیسیته و اینرسی سبب بروز مسائل آبرو الاستیسیته در اجسام پرنده می‌شود. پدیده فلاتر نوعی ناپایداری دینامیکی در اجسام پرنده در حال پرواز است که الاستیسیته سازه نقش بسیار مهمی در ایجاد آن ایفا می‌کند. این پدیده به طور معمول مهم‌ترین تأثیر را بر روی طراحی سازه اجسام پرنده اعمال می‌کند. در نوع کلاسیک فلاتر به طور معمول و نه همیشه، دو درجه آزادی جسم با یکدیگر کوپل شده و سبب ایجاد ناپایداری می‌شوند [۱]. از آنجاکه آبرو الاستیک یک موضوع میان‌رشته‌ای است و از حاصل تداخل نیروهای آبرو دینامیکی، نیروی الاستیک و نیروی اینرسی است، تجزیه و تحلیل آبرو الاستیک در طراحی هواپیما بسیار مهم است. فلاتر، یک مسئله رایج در مسائل آبرو الاستیسیته است که می‌تواند به فاجعه حمل و نقل هواپیمایی به دلیل اختلاف ارتعاش سازه در یک‌زمان کوتاه منجر شود. مطالعات متعارف در مورد مسئله فلاتر و

* نویسنده عهده‌دار مکاتبات: javadi@ssau.ac.ir

حقوق مؤلفین به نویسنده‌گان و حقوق ناشر به انتشارات دانشگاه امیرکبیر داده شده است. این مقاله تحت لیسانس آفرینندگی مردمی (Creative Commons License) در دسترس شما قرار گرفته است. برای جزئیات این لیسانس، از آدرس <https://www.creativecommons.org/licenses/by-nc/4.0/legalcode> دیدن فرمائید.

روش قابلیت اطمینان مرتبه اول، ۲) روش المان محدود تصادفی، ۳) روش

سطح پاسخ و ۴) شبیه‌سازی مونت کارلو.^۳

روش دیفرانسیل کوادرچر به سرعت از اواخر دهه هشتاد میلادی با تولید روش‌های نوین برای تعیین ثابت‌های وزنی به لطف تلاش‌های دیگر محققین توسعه چشمگیری پیدا کرد. این اقدامات روش دیفرانسیل کوادرچر را به یک روش قدرتمند گسترش‌سازی عددی تبدیل نمود. در مقایسه با روش‌های مرسوم مرتبه پایین تفاضلات محدود و المان محدود، روش دیفرانسیل کوادرچر دارای قابلیت پاسخگویی دقیق‌تری با تعداد کمتر نقاط دامنه است که این امر باعث کاهش محاسبات می‌شود. از دیگر مزیت‌های این روش نسبت به روش‌های دیگر عددی می‌توان به این مسئله اشاره نمود که با افزایش تعداد نقاط شبکه در اکثر مسائل نه تنها خطای وارد محاسبات نمی‌گردد بلکه پاسخ موردنظر به یک مقدار ثابت همگرا شده و افزایش تعداد نقاط تأثیری در پاسخ نمی‌گذارد. این مزیت برتری این روش را در مقایسه با سایر روش‌ها به‌طور مثال المان محدود ثابت می‌نماید که با افزایش المان‌ها خطای محاسباتی به وجود خواهد آمد. بدین ترتیب با توجه به مزایای فراوان روش دیفرانسیل کوادرچر، این روش در مسائل مهندسی و علمی بسیار به کار گرفته می‌شود.

در کار حاضر با توجه به اینکه، بررسی قابلیت اطمینان و عدم قطعیت در متغیرهای طراحی در مسائل آیروالاستیسیته مواد کامپوزیتی کمتر مورد توجه قرار گرفته است، قابلیت اطمینان آستانه وقوع فلاٹر صفحه چندلایه کامپوزیتی متقارن برای عدم قطعیت‌های مختلف سازه‌ای شامل مدل الاستیک، ضربت بوسون، چگالی، ضخامت صفحه و ابعاد صفحه در رژیم پروازی مافوق صوت بررسی شده است. معادله آیروالاستیسیته حاکم بر این مدل با استفاده از روش دیفرانسیل مربعی‌ای حل شده و برای به‌دست‌آوردن قابلیت اطمینان نیز از روش شبیه‌سازی مونت کارلو استفاده شده است.

۲- معادلات حاکم بر صفحه چندلایه کامپوزیتی

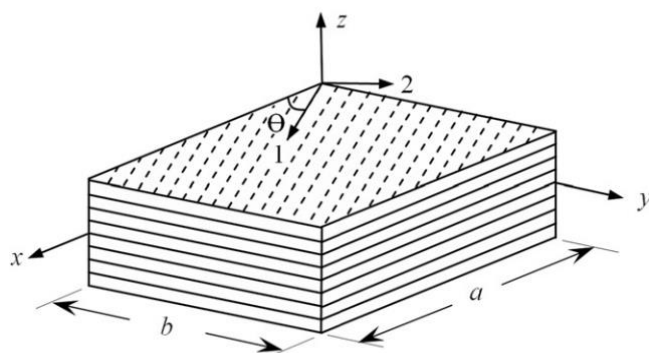
یکی از پارامترهای تأثیرگذار در انتخاب تئوری‌های ورق و پوسته، ضخامت است. زمانی که ضخامت سازه در مرتبه دیگر ابعاد نباشد، استفاده از تئوری کلاسیک ورق منجر به نتایج با دقت قابل قبول می‌شود. چنانچه ضخامت ورق نسبت به ابعاد دیگر آن فراوان باشد، فرضیات یادشده در مورد ورق‌های نازک با تغییر شکل‌های کوچک بی‌اعتبار شده و به کارگیری معادلات دیفرانسیل بالا تقریب زیاد و قبل توجه ای را به همراه خواهد داشت.

کامپوزیتی پرداختند.

با این حال، عدم قطعیت در متغیرهای طراحی وجود دارد که در مسائل آیروالاستیسیته مواد کامپوزیتی کمتر به آن‌ها توجه شده است. این عدم قطعیت شامل خواص هندسی مانند خواص مقطعی و ابعاد، خواص مکانیکی مواد مانند مدول و استحکام، توزیع بارها، محیط کار و غیره هست؛ بنابراین تجزیه و تحلیل قطعی اطلاعات کاملی را در خصوص پاسخ فلاٹر ارائه نمی‌دهد. به این منظور بررسی فلاٹر تحت عدم قطعیت تصادفی، باید یک ابزار مناسب برای تجزیه و تحلیل سیستم سازه با عدم قطعیت تصادفی [۷، ۸] ارائه شود. به کمک تجزیه و تحلیل احتمالاتی و نظریه قابلیت اطمینان سیستم‌های سازه‌ای می‌توان عدم قطعیت‌های ناشی از طبیعت آماری پارامترهای مختلف را به صورت روابط ریاضی درآورده و ملاحظات اینمی و عملکرد را به طور کمی وارد روند طراحی نمود. طبق این نظریه علاوه بر بررسی عدم قطعیت تصادفی پارامترهای مختلف بر پاسخ فلاٹر می‌توان قابلیت اطمینان کل سیستم سازه‌ای را نیز مورد مطالعه قرارداد. تجزیه و تحلیل قابلیت اطمینان آستانه وقوع فلاٹر یک موضوع نسبتاً جدید است به همین دلیل منابع کمی در تجزیه و تحلیل فلاٹر احتمالاتی وجود دارد. لیو^۱ و همکاران [۹] از روش سطح پاسخ توالی برای تجزیه و تحلیل قابلیت اطمینان فلاٹر بال با فرکанс طبیعی تصادفی استفاده کردند. لیو و همکاران [۱۰] قابلیت اطمینان عدم قطعیت‌های مختلف برای کمانش و فلاٹر غیرخطی پوسته چندلایه در جریان مافوق صوت را برای عدم قطعیت‌های مختلف سازه‌ای به‌دست‌آوردند. آن‌ها همچنین [۱۱] قابلیت اطمینان و فلاٹر غیرخطی پوسته و صفحه چندلایه در جریان مافوق صوت را برای عدم قطعیت‌های مختلف سازه‌ای به‌دست‌آوردند؛ که در آن از تئوری کلاسیک ورق برای مدل کردن رفتار سازه و از تئوری پیستون مرتبه اول برای مدل کردن نیروهای آیرودینامیکی استفاده شده است. در سال‌های اخیر تحقیقاتی متفاوتی در زمینه فلاٹر با استفاده از تجزیه و تحلیل قابلیت اطمینان از پاسخ فلاٹر با در نظر گرفتن عدم قطعیت‌های گوناگون با روش‌های مختلف [۱۲-۱۷] انجام شده است. فارسی و خلفی [۱۸] قابلیت اطمینان آستانه وقوع فلاٹر صفحه ایزوتروپیک با طول محدود و عرض بی‌نهایت را مورد بررسی قراردادند. آن‌ها با آنالیز حساسیت، اثر پارامترهای مختلف بر میزان قابلیت اطمینان آستانه وقوع فلاٹر صفحه ایزوتروپیک دو بعدی را بررسی کردند. کومار^۲ و همکاران [۱۹] با استفاده از تجزیه و تحلیل قابلیت اطمینان به بررسی حوزه پایداری بال پرداختند. به طور کلی، این روش‌ها را می‌توان به چهار دسته تقسیم کرد [۲۰]: ۱)

1 Liu

2 Kumar



شکل ۱. جهات اصلی و مرجع در یک لایه کامپوزیتی

Fig. 1. Coordinate systems of fiber reinforced materials

به دست آورد. نیروی میان صفحه‌ای و گشتاور خارج از صفحه به صورت زیر به دست می‌آید:

$$(N, M) = \int_{-\frac{h}{2}}^{\frac{h}{2}} (1, z) \sigma dz \quad (5)$$

با قراردادن رابطه (۴) در (۵)، رابطه (۶) به دست می‌آید.

$$\begin{Bmatrix} N \\ M \end{Bmatrix} = \begin{bmatrix} A & B \\ B & D \end{bmatrix} \begin{Bmatrix} \{\varepsilon^0\} \\ \{k\} \end{Bmatrix} \quad (6)$$

که در آن $\{\varepsilon^0\}$ میان بردار کرنش‌های غشایی و $\{k\}$ بیانگر بردار کرنش‌های خمی است. همچنین N نیروی میان صفحه، M گشتاور خارج از صفحه و ماتریس‌های A ، B ، C و D به ترتیب ماتریس سختی کششی، ماتریس سختی کششی خمی و ماتریس سختی خمی است که مؤلفه‌های ماتریس‌های ذکر شده به شکل زیر حاصل می‌شوند.

$$(A_{ij}, B_{ij}, C_{ij}, D_{ij}) = \int_{-\frac{h}{2}}^{\frac{h}{2}} \bar{Q}_{ij}(1, z, z^2) dz \quad (7)$$

از آنجاکه در کار حاضر لایه چینی را به صورت متقاضی در نظر گرفتیم در نتیجه ماتریس B برابر صفر می‌شود و این امر سبب می‌شود که نیروی میان صفحه و گشتاور خارج از صفحه به شکل زیر باشد:

ازین رو با فرض نازکبودن صفحه و به منظور شبیه‌سازی رفتار حاکم بر سازه (ورق) از نظریه کلاسیک ورق استفاده می‌شود. ورق مستطیلی در دستگاه مختصات کارتزین (X, Y, Z) با اختلاف h در حالتی که Z عمود بر صفحه میانی و صفحه XY منطبق بر صفحه میانی باشد فرض می‌شود. چنانچه جابجایی‌های نقاط واقع در صفحه میانی با (u_0, v_0, w_0) نشان داده شود، میدان جابجایی به شکل ذیل درخواهد آمد [۲۱].

$$\begin{aligned} u(x, y, z, t) &= u_0(x, y, t) - z \frac{\partial w_0(x, y, t)}{\partial x} \\ v(x, y, z, t) &= v_0(x, y, t) - z \frac{\partial w_0(x, y, t)}{\partial y} \\ w(x, y, z, t) &= w_0(x, y, t) \end{aligned} \quad (1)$$

که در آن (u_0, v_0, w_0) به ترتیب جابجایی لایه میانی در راستای (X, Y, Z) است. رابطه تنش-کرنش برای یک لایه ارتوتروپ به شکل زیر است.

$$\begin{Bmatrix} \sigma_{11} \\ \sigma_{22} \\ \sigma_{12} \end{Bmatrix} = \begin{bmatrix} Q_{11} & Q_{12} & 0 \\ Q_{12} & Q_{22} & 0 \\ 0 & 0 & Q_{66} \end{bmatrix} \begin{Bmatrix} \varepsilon_{11} \\ \varepsilon_{22} \\ \varepsilon_{12} \end{Bmatrix} \quad (2)$$

که در آن Q_{ij} معرف ضرایب سختی است که به شکل زیر تعریف می‌شوند.

$$\begin{aligned} Q_{11} &= \frac{E_{11}}{1 - \nu_{12}\nu_{21}}, & Q_{22} &= \frac{E_{22}}{1 - \nu_{12}\nu_{12}}, \\ Q_{21} &= \frac{\nu_{12}E_{22}}{1 - \nu(z)^2}, & Q_{12} &= \frac{\nu_{21}E_{11}}{1 - \nu(z)^2}, & Q_{66} &= G_{21} \end{aligned} \quad (3)$$

رابطه فوق روابط تنش و کرنش را برای یک تک لایه در مختصات اصلی (۲-۱) نوشته شده است. حال اگر بخواهیم این روابط را در دستگاه مرجع (X, Y, Z) که همانند شکل ۱ با دستگاه اصلی اختلاف زاویه‌ای برابر θ دارد، بنویسیم فرم رابطه به صورت زیر است:

$$\begin{Bmatrix} \sigma_{xx} \\ \sigma_{yy} \\ \sigma_{xy} \end{Bmatrix} = \begin{bmatrix} \bar{Q}_{11} & \bar{Q}_{12} & \bar{Q}_{16} \\ \bar{Q}_{12} & \bar{Q}_{22} & \bar{Q}_{26} \\ \bar{Q}_{16} & \bar{Q}_{26} & \bar{Q}_{66} \end{bmatrix} \begin{Bmatrix} \varepsilon_{xx} \\ \varepsilon_{yy} \\ \varepsilon_{xy} \end{Bmatrix} \quad (4)$$

که در آن مؤلفه‌های ماتریس سختی را می‌توان با توجه به مرجع [۲۲]

که در آن Δp_∞ معادل نیروی آبرودینامیکی وارد بر صفحه است. از جایگذاری روابط گشتاور خارج از صفحه در معادلات حرکت و با در نظر گرفتن روابط رفتار مکانیکی مواد کامپوزیتی شکل کلی این معادلات به صورت زیر خواهد بود:

$$\begin{aligned} D_{11} \frac{\partial^4 w}{\partial x^4} + 4D_{16} \frac{\partial^4 w}{\partial x^3 \partial y} + 2(D_{12} + 2D_{66}) \frac{\partial^4 w}{\partial x^2 \partial y^2} \\ + 4D_{26} \frac{\partial^4 w}{\partial x \partial y^3} + D_{22} \frac{\partial^4 w}{\partial y^4} + \rho h \frac{\partial^2 w}{\partial t^2} + \Delta p_\infty = 0 \end{aligned} \quad (12)$$

با جایگذاری رابطه (11) در رابطه (12)، معادله آبروایستیک حاکم بر صفحه دو بعدی به صورت زیر خواهد شد:

$$\begin{aligned} D_{11} \frac{\partial^4 w}{\partial x^4} + 4D_{16} \frac{\partial^4 w}{\partial x^3 \partial y} + 2(D_{12} + 2D_{66}) \frac{\partial^4 w}{\partial x^2 \partial y^2} \\ + 4D_{26} \frac{\partial^4 w}{\partial x \partial y^3} + D_{22} \frac{\partial^4 w}{\partial y^4} + \rho h \frac{\partial^2 w}{\partial t^2} \\ + \frac{2q_\infty}{U_\infty \sqrt{M^2 - 1}} \left(U_\infty \frac{\partial w}{\partial x} + \frac{M^2 - 2}{M^2 - 1} \frac{\partial w}{\partial t} \right) = 0 \end{aligned} \quad (13)$$

حال پارامترهای بی بعد مطابق با رابطه (14) تعریف می گردند.

$$\begin{aligned} W = \frac{w}{h}, \quad \zeta = \frac{x}{a}, \quad \eta = \frac{y}{b}, \\ \tau = t \left(\frac{D_0}{\rho h a^4} \right)^{1/2}, \quad \mu = \frac{\rho_\infty a}{\rho h}, \\ \lambda = \frac{2q_\infty a^3}{\beta D}, \quad D_0 = \frac{E_{11} h^3}{12(1 - \nu_{12}\nu_{21})} \end{aligned} \quad (14)$$

در رژیم های پروازی متفاوت صوت که $M < 1$ است، عبارت های استهلاک آبرودینامیکی در رابطه (11) به صورت رابطه (15) تخمین زده می شود [۲۳].

$$\left(\frac{M^2 - 2}{M^2 - 1} \right)^2 \left(\frac{\mu}{\sqrt{M^2 - 1}} \right) \approx \frac{\mu}{M} \quad (15)$$

با اعمال پارامترهای بی بعد تعریف شده در رابطه (17) رابطه زیر حاصل می شود.

$$\begin{aligned} N_{xx} &= A_{11} \varepsilon_{xx} + A_{12} \varepsilon_{yy} \\ N_{yy} &= A_{12} \varepsilon_{xx} + A_{22} \varepsilon_{yy} \\ N_{xy} &= A_{66} \varepsilon_{xy} \end{aligned} \quad (18)$$

$$\begin{aligned} M_{xx} &= D_{11} k_{xx} + D_{12} k_{yy} \\ M_{yy} &= D_{12} k_{xx} + D_{22} k_{yy} \\ M_{xy} &= D_{66} k_{xy} \end{aligned}$$

-۱- مدل آبرودینامیکی

برای الگوی شبیه سازی رفتار آبرودینامیک، یک تئوری آبرودینامیک محاسباتی کارآمد برای الگوسازی مطلوب آن ضروری است، بنابراین تئوری پیستون که یک ارتباط ساده بین فشار و تغییر شکل سطح فراهم می کند، انتخاب می شود. نظریه پیستون یک روش برای محاسبه فشار آبرودینامیکی ناپایدار بر روی یک سطح است که در آن فشار محلی تولید شده توسط حرکت سطح به مؤلفه عمودی محلی سرعت سیال وابسته می شود. با استفاده از تئوری پیستون مرتبه اول، نیروهای آبرودینامیکی به صورت رابطه زیر شبیه سازی می شود [۵].

$$\Delta p = \frac{2q_\infty}{U_\infty \sqrt{M^2 - 1}} \left(U_\infty \frac{\partial w}{\partial x} + \frac{M^2 - 2}{M^2 - 1} \frac{\partial w}{\partial t} \right) \quad (9)$$

که در آن U_∞ سرعت جریان آزاد، M عدد ماخ، p_∞ چگالی جرمی سیال و q_∞ فشار آبرودینامیکی است که به صورت زیر بیان می شود:

$$q_\infty = \frac{\rho_\infty U_\infty^2}{2} \quad (10)$$

-۲- معادلات حرکت

معادلات حرکت از اصل همیلتون به دست می آیند، بدون در نظر گرفتن نیروهای برشی سطحی و گشتاورهای حجمی معادلات حرکت صفحه چندلایه کامپوزیتی متقاضی با استفاده از تئوری کلاسیک ورق به شکل زیر بیان می شود:

$$\frac{\partial^2 M_{xx}}{\partial x^2} + 2 \frac{\partial^2 M_{xy}}{\partial x \partial y} + \frac{\partial^2 M_{yy}}{\partial y^2} + \rho h \frac{\partial^2 w}{\partial t^2} + \Delta p_\infty = 0 \quad (11)$$

$$\Pi(x_i) = \prod_{v=1, v \neq i}^N (x_i - x_v), \quad \Pi(x_k) = \prod_{v=1, v \neq k}^N (x_k - x_v) \quad (19)$$

عبارت‌های غیرواقع بر قطر اصلی مربوط به ثابت‌های وزنی برای مشتقات مرتبه دوم و بالاتر از رابطه (۲۰) به دست می‌آیند.

$$A_{ik}^{(r)} = r \left[A_{ii}^{(r-1)} A_{ik}^{(1)} - \frac{A_{ik}^{(r-1)}}{x_i - x_k} \right], \quad (20)$$

for $i, k = 1, 2, \dots, N$ and $k \neq i$ and $2 \leq r \leq (N-1)$

عبارت‌های واقع بر قطر اصلی مربوط به ثابت‌های وزنی برای مشتقات مرتبه اول و بالاتر از رابطه (۲۱) به دست می‌آیند.

$$A_{ii}^{(r)} = - \sum_{v=1, v \neq i}^M A_{iv}^{(r)} \quad \text{for } i = 1, 2, \dots, N \quad (21)$$

از روش دیفرانسیل کوادرچر برای ترکیب‌های خطی مشتق نیز استفاده می‌شود.

$$\begin{aligned} & \frac{D_{11}}{D_0} \frac{\partial^4 W}{\partial \zeta^4} + 4 \frac{D_{16}}{D_0} \left(\frac{a}{b} \right) \frac{\partial^4 W}{\partial \zeta^3 \partial \eta} \\ & + 2 \frac{(D_{12} + 2D_{66})}{D_0} \left(\frac{a}{b} \right)^2 \frac{\partial^4 W}{\partial \zeta^2 \partial \eta^2} \\ & + 4 \frac{D_{26}}{D_0} \left(\frac{a}{b} \right)^3 \frac{\partial^4 W}{\partial \zeta \partial \eta^3} + \frac{D_{22}}{D_0} \left(\frac{a}{b} \right)^4 \frac{\partial^4 W}{\partial \eta^4} \\ & + \frac{\partial^2 W}{\partial^2 \tau} + \lambda \frac{\partial W}{\partial \zeta} + \sqrt{\lambda} \frac{\mu}{M} \frac{\partial W}{\partial \tau} = 0 \end{aligned} \quad (16)$$

۳- حل معادلات حاکم با استفاده از روش دیفرانسیل مربعی تعیین یافته

روش دیفرانسیل کوادرچر یک روش عددی دقیق و در عین حال سریع برای حل معادلات دیفرانسیل است. روش دیفرانسیل کوادرچر برای مشتق یکتابع در هر نقطه توسط یک سری خطی، تخمینی ارائه می‌دهد. با توجه به مطالب ذکر شده در مرجع [۲۴] مشتق مرتبه ۱ ام یکتابع مانند W را در نقطه‌ای مانند x_i بر اساس روش دیفرانسیل کوادرچر می‌توان به صورت رابطه (۱۷) نوشت.

$$\frac{\partial^{(r+s)} W}{\partial x^r \partial y^s} = \sum_{k=1}^N \sum_{l=1}^M A_{ik}^{(r)x} A_{jl}^{(s)y} W_{kl} \quad (22)$$

$$\frac{\partial^r W}{\partial x^r} \Big|_{x=x_i} = \sum_{j=1}^N A_{ij}^{(r)x} W_j \quad (17)$$

با توجه به مشخص شدن ثابت‌های وزنی حال باید مختصات نقاط شبکه معین گردد. برای افزایش دقت، بهتر است از توزیع نقاط با فواصل نامساوی استفاده شود. بدین منظور می‌توان با استفاده از چند جمله‌ای‌های لاغرانژ به یک توزیع کسینوسی بسیار خوب دست یافت که نحوه محاسبه مختصات نقاط شبکه در این حالت به صورت رابطه (۲۶) هست.

$$x_i = \frac{1 - \cos[(i-1)\pi/(N-1)]}{2} L, \quad i = 1, 2, \dots, N \quad (23)$$

شرایط مرزی لولای ساده و گیردار با استفاده از این روش به ترتیب به صورت روابط (۲۴) و (۲۵) بیان می‌شود.

که در آن $A^{(r)x}$ معرف ثابت‌های وزنی و N معرف تعداد نقاط شبکه در جهت X هستند. به منظور به دست آوردن ثابت‌های وزنی می‌توان از روش حل تئوری همینگ استفاده نمود. ثابت‌های وزنی را برای مشتقات به صورت مستقیم و دقیق، صرف نظر از تعداد نقاط شبکه و محل قرارگیری آنها، می‌توان با استفاده از رابطه ارائه شده محاسبه نمود. لازم به ذکر است که رابطه‌های ارائه شده برای محاسبه این ثابت‌ها در این بخش برای مختصات X نوشتۀ شده‌اند و برای دیگر مختصات نیز به صورت مشابه به دست می‌آیند. عبارت‌های غیرواقع بر قطر اصلی برای مشتق مرتبه اول از رابطه (۱۷) به دست می‌آیند.

$$A_{ik}^{(1)} = \frac{\prod_{v=1}^N (x_i - x_v)}{(x_i - x_k) \prod_{v=1}^N (x_k)} \quad \text{for } i, k = 1, 2, \dots, N \quad (18)$$

که در آن

حال رابطه (۲۶) را به صورت رابطه (۲۷) بیان می‌شود.

$$\left\{ \omega^2 I + \sqrt{\lambda \frac{\mu}{M}} \omega I + \begin{pmatrix} \frac{D_{11}}{D_0} \sum_{k=1}^{N-2} A x_{ik1}^{(4)} + 4 \frac{D_{16}}{D_0} \left(\frac{a}{b} \right) \sum_{k=1}^{N-2} \sum_{k=2}^{M-2} A x_{ik1}^{(3)} A y_{jk2}^{(1)} \\ + 2 \frac{(D_{12} + 2D_{66})}{D_0} \left(\frac{a}{b} \right)^2 \sum_{k=1}^{N-2} \sum_{k=2}^{M-2} A x_{ik1}^{(2)} A y_{jk2}^{(2)} \\ + 4 \frac{D_{26}}{D_0} \left(\frac{a}{b} \right)^3 \sum_{k=1}^{N-2} \sum_{k=2}^{M-2} A x_{ik1}^{(1)} A y_{jk2}^{(3)} \\ + \frac{D_{22}}{D_0} \left(\frac{a}{b} \right)^4 \sum_{k=2}^{M-2} A y_{jk2}^{(4)} + \lambda \sum_{k=1}^{N-2} A x_{ik1}^{(1)} \end{pmatrix} \right\} \delta = 0 \quad (27)$$

for $i = 1, 2, \dots, N$, $j = 1, 2, \dots, M$

در رابطه بالا δ نمایانگر درجات آزادی نقاط دامنه هست. همچنین

یک بردار $(N-4)(M-4) \times 1$ بوده که برابر است با:

$$\delta = [W_{2,2}, W_{2,3}, \dots, W_{2,M-3}, W_{3,2}, W_{3,3}, \dots, W_{3,M-3}, \dots, W_{N-3,3}, \dots, W_{N-3,M-3}]^T \quad (28)$$

حال با تعریف رابطه $I\omega\delta - \omega I\delta = 0$ رابطه به دست آمده به یک رابطه مقدار ویژه مرتبه اول تبدیل می‌گردد. درنتیجه رابطه (۲۹) حاصل می‌شود.

$$\begin{bmatrix} 0 & I \\ K^* & C^* \end{bmatrix} - \omega \begin{bmatrix} I & 0 \\ 0 & -\frac{I_0}{\rho_m h} I \end{bmatrix} \begin{bmatrix} \delta \\ \omega\delta \end{bmatrix} = \begin{bmatrix} 0 \\ 0 \end{bmatrix} \quad (29)$$

که در آن ضرایب $*C$ و $*K$ به شکل زیر تعریف می‌شوند.

$$K^* = \left\{ \begin{array}{l} \frac{D_{11}}{D_0} \sum_{k=1}^{N-2} A x_{ik1}^{(4)} + 4 \frac{D_{16}}{D_0} \left(\frac{a}{b} \right) \sum_{k=1}^{N-2} \sum_{k=2}^{M-2} A x_{ik1}^{(3)} A y_{jk2}^{(1)} \\ + 2 \frac{(D_{12} + 2D_{66})}{D_0} \left(\frac{a}{b} \right)^2 \sum_{k=1}^{N-2} \sum_{k=2}^{M-2} A x_{ik1}^{(2)} A y_{jk2}^{(2)} \\ + 4 \frac{D_{26}}{D_0} \left(\frac{a}{b} \right)^3 \sum_{k=1}^{N-2} \sum_{k=2}^{M-2} A x_{ik1}^{(1)} A y_{jk2}^{(3)} \\ + \frac{D_{22}}{D_0} \left(\frac{a}{b} \right)^4 \sum_{k=2}^{M-2} A y_{jk2}^{(4)} + \lambda \sum_{k=1}^{N-2} A x_{ik1}^{(1)} \end{array} \right\}, \quad (30)$$

$$C^* = \sqrt{\lambda \frac{\mu}{M}}$$

همچنین I هر یک به ترتیب معادل ماتریس صفر و ماتریس یکه با ابعاد $(N-4)(M-4) \times (N-4)(M-4)$ هستند. حال می‌توان با تحلیل مقادیر ویژه رابطه (۲۹) محدوده وقوع فلاتر را بررسی کرد.

$$x = 0, a$$

$$W_{ij} = 0$$

$$-D_{11} \sum_{k=1}^N A x_{ik1}^{(2)} W_{k1j} - D_{12} \sum_{k=2}^M A y_{jk2}^{(2)} W_{ik2}$$

$$-D_{16} \sum_{k=1}^N \sum_{k=2}^M A x_{ik1}^{(1)} A y_{jk2}^{(1)} W_{k1k2} = 0$$

$$i = 1, N \quad j = 1, 2, \dots, M$$

(۲۴)

$$y = 0, b$$

$$W_{ij} = 0$$

$$-D_{12} \sum_{k=1}^N A x_{ik1}^{(2)} W_{k1j} - D_{22} \sum_{k=2}^M A y_{jk2}^{(2)} W_{ik2}$$

$$-D_{16} \sum_{k=1}^N \sum_{k=2}^M A x_{ik1}^{(1)} A y_{jk2}^{(1)} W_{k1k2} = 0$$

$$i = 1, 2, \dots, N \quad j = 1, M$$

و همچنین شرایط مرزی گیردار به صورت زیر بیان می‌شود.

$$x = 0, a$$

$$W_{ij} = 0$$

$$\sum_{k=1}^N A x_{ik1}^{(1)} W_{k1j} = 0$$

$$i = 1, N \quad j = 1, 2, \dots, M$$

(۲۵)

$$y = 0, b$$

$$W_{ij} = 0$$

$$\sum_{k=2}^M A y_{jk2}^{(1)} W_{ik2} = 0$$

$$i = 1, 2, \dots, N \quad j = 1, M$$

اگر فرض شود پاسخ سیستم به صورت $W(x, y, t) = \bar{W}(x, y) e^{i\omega t}$

باشد با اعمال روش دیفرانسیل کوادرچر معادله (۱۶) گسسته‌سازی شده و معادله آیروالاستیک حاکم بر ورق چندلایه کامپوزیتی بعد از اعمال شرایط مرزی به صورت رابطه زیر به دست می‌آید.

$$\begin{aligned} & \frac{D_{11}}{D_0} \sum_{k=1}^{N-2} A x_{ik1}^{(4)} \bar{W}_{k1j} \\ & + 4 \frac{D_{16}}{D_0} \left(\frac{a}{b} \right) \sum_{k=1}^{N-2} \sum_{k=2}^{M-2} A x_{ik1}^{(3)} A y_{jk2}^{(1)} \bar{W}_{k1k2} \\ & + 2 \frac{(D_{12} + 2D_{66})}{D_0} \left(\frac{a}{b} \right)^2 \sum_{k=1}^{N-2} \sum_{k=2}^{M-2} A x_{ik1}^{(2)} A y_{jk2}^{(2)} \bar{W}_{k1k2} \\ & + 4 \frac{D_{26}}{D_0} \left(\frac{a}{b} \right)^3 \sum_{k=1}^{N-2} \sum_{k=2}^{M-2} A x_{ik1}^{(1)} A y_{jk2}^{(3)} \bar{W}_{k1k2} \\ & + 4 \frac{D_{22}}{D_0} \left(\frac{a}{b} \right)^4 \sum_{k=2}^{M-2} A y_{jk2}^{(4)} \bar{W}_{ik2} + \omega^2 \bar{W}_{ij} \\ & + \frac{D_{26}}{D_0} \left(\frac{a}{b} \right)^4 \sum_{k=2}^{M-2} A y_{jk2}^{(4)} \bar{W}_{ik2} + \omega^2 \bar{W}_{ij} \\ & + \lambda \sum_{k=1}^{N-2} A x_{ik1}^{(1)} \bar{W}_{k1j} + \omega \sqrt{\lambda \frac{\mu}{M}} \bar{W}_{ij} = 0 \end{aligned} \quad (26)$$

for $i = 1, 2, \dots, N$, $j = 1, 2, \dots, M$

که درنتیجه عدم قطعیت P_f به صورت زیر محاسبه می‌شود:

$$P_f = \frac{N_f}{N} \quad (36)$$

که در آن N_f تعداد کل سیکل‌های شبیه‌سازی شده‌ای است که در آن شکست اتفاق افتاده است ($g(x) < 0$) و N تعداد کل سیکل‌های شبیه‌سازی شده است. تعداد تولید کننده‌ای تصادفی معمولاً برای به دست آوردن یک مقدار متوسط و انحراف معیار استاندارد بر اساس مقدار ورودی تصادفی و توزیع نوشتۀ شده از هر ورودی تصادفی قابل اجرا است. همچنین می‌توان میزان حساسیت احتمال پارامترهای متغیر ورودی را برای توزیع خروجی مشاهده کرد. با استفاده از شبیه‌سازی مونت‌کارلو می‌توان شاخص قابلیت اطمینان را که با β نمایش داده می‌شود محاسبه کرد.

$$\begin{aligned} \beta &= -\Phi^{-1}(P_f) \\ P_f &= \Phi(-\beta) \end{aligned} \quad (37)$$

که تابع Φ توزیع جمع‌شونده از متغیرهای نرمال استاندارد را نشان می‌دهد.

$$\Phi(z) = \frac{1}{\sqrt{2\pi}} \int_{-\infty}^z \exp\left(-\frac{w^2}{2}\right) dw \quad (38)$$

۳-۲- حل مسئله نمونه

معادلات آیرولاستیک حاکم بر صفحه چندلایه کامپوزیتی در جریان مافقو صوت که با استفاده از روش دیفرانسیل کوادرچر گسسته‌سازی شدند برای به دست آوردن سرعت و قوع فلاتر حل شده است. در این قسمت به صحت‌سنگی نتایج حاصل از تحلیل فلاتر توسط روش دیفرانسیل کوادرچر پرداخته می‌شود. به این منظور یک صفحه چهار لایه کامپوزیتی متقاضیان لایه چینی $[-\theta / +\theta]$ در جریان مافقو صوت با شرایط مرزی تمام ولای ساده و $M / M = 1$, $a / b = 1$, $h / a = 100$, $a / b = 1$ خواص مکانیکی مواد به صورت $(E_{11} / E_{22} = 0.3, \nu_{12} = 0.23)$ مطابق مرجع [۲] در نظر گرفته شده است. برای حل با استفاده از روش دیفرانسیل کوادرچر از تعداد ۱۵ نقاط شبکه ($N = M = 15$) مطابق رابطه (۲۳) استفاده شده است. فشار آیرودینامیکی بحرانی فلاتر به دست آمده

۳-۳- به دست آوردن قابلیت اطمینان با استفاده از شبیه‌سازی مونت‌کارلو

با توجه به فشار آیرودینامیکی بحرانی فلاتر λ_c تعیین شده توسط تجزیه و تحلیل مقدار ویژه، تابع حد حالت یا عملکرد برای سرعت فلاتر به شکل زیر تعریف می‌شود

$$g(x) = \lambda_c(x) - \lambda_c^* \quad (31)$$

که در آن λ_c^* فشار آیرودینامیکی بی بعد بدون در نظر گرفتن عدم قطعیت برای متغیرهای طراحی است که مقدار آن برابر با (μ_c) λ_c هست. شایان ذکر است که برای بالا بردن قابلیت اطمینان آستانه فلاتر می‌توان یک حاشیه اطمینان برای مقدار λ_c در نظر گرفت که در کار حاضر از آن صرف نظر شده است.

همچنین تابع $g(x)$ بعنوان تابع هدف تعریف می‌شود و بردار $x = [x_1, x_2, x_3, \dots, x_n]$ متغیرهای تصادفی می‌باشد؛ که محدوده $g(x) > 0$ ناحیه امن، محدوده $g(x) < 0$ ناحیه شکست و ناحیه $g(x) = 0$ ناحیه مرزی هست. قابلیت اطمینان، احتمال اینکه متغیرهای تصادفی X در ناحیه امن قرار گیرند تعریف می‌شوند. اگر تابع چگالی احتمال $f(X)$ باشد عدم قطعیت به صورت زیر می‌شود:

$$P_f = P\{g(X) < 0\} = \int_{g(x) < 0} f_x(x) dx \quad (32)$$

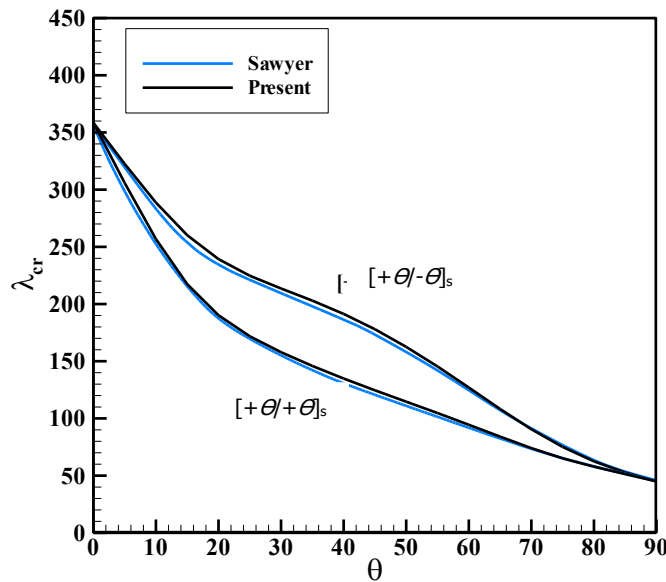
$$R = 1 - P_f = P\{g(X) > 0\} = \int_{g(x) > 0} f_x(x) dx \quad (33)$$

درروش شبیه‌سازی مونت‌کارلو N متغیر تصادفی مستقل آزمایش می‌شود در حالی که ارزش اولیه از متغیر در هر بار آزمایش بر پایه تصادفی انتخاب می‌شود و به وسیله سیکل‌های شبیه‌سازی، عدم قطعیت P_f به صورت زیر محاسبه می‌شود [۲۵].

$$P_f = \frac{1}{N} \sum_{i=1}^N I(X_1, X_2, \dots, X_n) \quad (34)$$

که در آن $I(X_1, X_2, \dots, X_n)$ به صورت زیر تعریف می‌شود:

$$I(X_1, X_2, \dots, X_n) = \begin{cases} 1 & \text{if } g(X_1, X_2, \dots, X_n) \leq 0 \\ 0 & \text{if } g(X_1, X_2, \dots, X_n) > 0 \end{cases} \quad (35)$$



شکل ۲. مقایسه فشار آیرودینامیکی بحرانی برای صفحه کامپوزیتی با لایه چینی $[+θ/-θ]_s$

Fig. 2. Comparison of critical aerodynamic pressure for a composite plate with a porcelain layer $[+θ/-θ]_s$

صفحه ۶ لایه متقارن کامپوزیتی با لایه $[+θ/-θ]_s$ با شرایط مرزی مختلف آورده شده است. با توجه به جدول ۲ با افزایش زاویه الیاف، فشار آیرودینامیکی بی بعدشده بحرانی فلاتر کاهش می یابد و هر چه شرایط مرزی صفحه به سمت شرایط مرزی گیردار می رود فشار آیرودینامیکی بی بعدشده بحرانی فلاتر افزایش می یابد. در جدول ۲ صفحه کامپوزیتی با لایه چینی $[+60/-60]$ و شرایط مرزی تمام لولا دارای کمترین فشار آیرودینامیکی بی بعدشده بحرانی فلاتر و صفحه کامپوزیتی با لایه چینی $[+15/-15]$ و شرایط مرزی تمام گیردار دارای بیشترین فشار آیرودینامیکی بی بعدشده بحرانی فلاتر است.

برای بررسی قابلیت اطمینان آستانه وقوع فلاتر صفحه کامپوزیتی با شرایط مرزی مختلف و تعداد ۶ لایه متقارن با لایه چینی $[+θ/-θ]_s$ و تعداد سیکل های شبیه سازی مونت کارلو را برابر $N = 10000$ در نظر می گیریم. در جدول ۳ قابلیت اطمینان آستانه وقوع فلاتر صفحه کامپوزیتی با شرایط مرزی مختلف و زاویه های مختلف الیاف به دست آورده شده است. با توجه به جدول ۳ با افزایش زاویه الیاف قابلیت اطمینان آستانه وقوع فلاتر افزایش می یابد و هر چه شرایط مرزی صفحه به سمت شرایط مرزی گیردار می رود قابلیت اطمینان آستانه وقوع فلاتر کاهش می یابد. در جدول ۳ صفحه کامپوزیتی با لایه چینی $[+60/-60]$ و شرایط مرزی چهار

در شکل ۲ با مرجع [۲] که در آن فشار آیرودینامیکی بحرانی فلاتر صفحه را با استفاده از روش گلرکین به دست آورده مقایسه شده است. همان طور که از شکل مشخص است نتایج به دست آمده دارای مطابقت خوبی با مرجع [۲] هست.

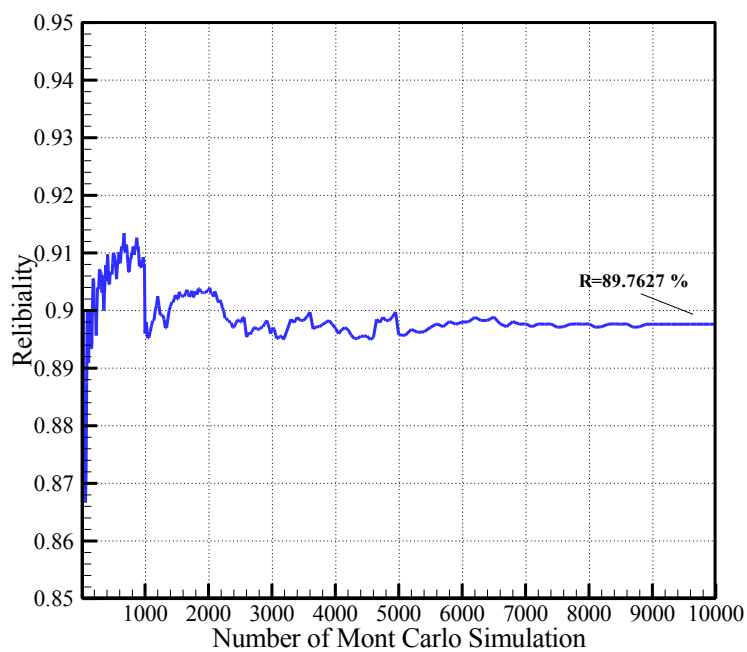
به منظور بررسی قابلیت اطمینان صفحه چندلایه کامپوزیتی، توزیع متغیرهای تصادفی که به صورت توزیع نرمال است در جدول ۱ تعریف شده است. با استفاده از روش شبیه سازی مونت کارلو و رابطه (۲۱) قابلیت اطمینان آستانه وقوع فلاتر صفحه چندلایه کامپوزیتی برای لایه چینی و شرایط مرزی مختلف در این مقاله ارائه می شود.

در شکل ۲ مقدار قابلیت اطمینان سرعت فلاتر صفحه کامپوزیتی متقارن با ۶ لایه $[+30/-30]$ و شرایط مرزی گیردار-لولا-گیردار-لولا برای تعداد سیکل های شبیه سازی مونت کارلو مختلف آورده شده است و همگرایی قابلیت اطمینان آستانه وقوع فلاتر برای تعداد سیکل های شبیه سازی مونت کارلو بررسی شده است. همان طور که از شکل ۲ مشخص است برای تعداد سیکل 10000 به بعد قابلیت اطمینان آستانه وقوع فلاتر به مقدار 89.7627% همگرا شده است. به همین منظور در این مقاله تعداد سیکل های شبیه سازی مونت کارلو را برابر $N=10000$ در نظر گرفته شده است. در ابتدا در جدول ۲ فشار آیرودینامیکی بی بعد شده بحرانی فلاتر برای

جدول ۱. توزیع متغیرهای تصادفی [۱۰]

Table 1. Distribution of random variables

خاصیت	فرم توزیع	مقدار میانگین	انحراف معیار
E_{11} (GPa)	نرمال	۱۵۰	%۱۰
E_{22} (GPa)	نرمال	۹	%۱۰
G_{12} (GPa)	نرمال	۷/۱	%۱۰
ν_{12}	نرمال	۰/۳	%۵
ν_{21}	نرمال	۰/۳	%۵
$\rho(\text{Kg/m}^3)$	نرمال	۱۶۰۰	%۵
$a(\text{m})$	نرمال	۰/۱	%۲
$b(\text{m})$	نرمال	۰/۱	%۲
$h(\text{m})$	نرمال	۰/۰۰۰۸	%۲



شکل ۳. قابلیت اطمینان برای سیکل‌های مختلف شبیه‌سازی مونت کارلو

Fig. 3. Reliability for different Monte Carlo simulation cycles

جدول ۲. فشار آبرودینامیکی بی بعدشده بحرانی فلاٹر برای صفحه ۶ لایه کامپوزیتی متقارن $[-\theta/+θ/-\theta]_S$

Table 2. The critical aerodynamic pressure for different types of laminated plate $[-\theta/+θ/-\theta]_S$

θ					شرایط مرزی
۶۰	۴۵	۳۰	۱۵		
۱۴۱/۶۲۳۸	۲۰۶/۱۲۸۶	۲۴۸/۶۰۰۱	۲۷۴/۹۱۹۹	چهار سر لولا	
۱۵۵/۶۹۸۲	۲۲۴/۳۲۲۳	۲۶۶/۸۱۹۷	۲۹۵/۱۷۵۹۱	سه سرلولا-یک سرگیردار	
۱۶۵/۷۶۶۹	۲۳۶/۴۵۸۷	۲۸۰/۹۹۵۹	۳۱۱/۳۸۵۷	لولا-گیردار-لولا-گیردار	
۱۷۳/۸۲۹۳۱	۲۶۲/۷۷۰۲	۳۲۳/۵۴۵۵	۳۶۶/۱۱۸۲	لولا-لولا-گیردار-گیردار	
۲۰۶/۱۲۸۶	۳۱۹/۴۹۲۰	۴۰۰/۵۹۳۷	۴۶۱/۴۵۰۷	چهارسرگیردار	

جدول ۳. مقدار قابلیت اطمینان آستانه وقوع فلاٹر بر حسب درصد (%) برای صفحه ۶ لایه کامپوزیتی متقارن $[-\theta/+θ/-\theta]_S$

Table 3. Reliability of flutter in percentage (%) for the laminate of symmetrical composite layer

اختلاف زاویه با دستگاه اصلی					شرایط مرزی
۶۰	۴۵	۳۰	۱۵		
۹۶/۳۲	۹۲/۲۳	۹۰/۸۷	۸۰/۹۸	چهار سر لولا	
۹۵/۷۸	۸۴/۱۸	۹۰/۰۳	۷۹/۹۲	سه سرلولا-یک سرگیردار	
۹۳/۱۲	۸۶/۲۳	۸۹/۷۶	۷۹/۶۳	لولا-گیردار-لولا-گیردار	
۹۱/۲۴	۸۲/۷۹	۸۵/۳۱	۷۶/۴۲	لولا-لولا-گیردار-گیردار	
۸۷/۶۳	۸۰/۱۸	۷۸/۴۲	۷۳/۳۹	چهارسرگیردار	

بحرانی فلاٹر دارای مقدار بالاتری است مقدار قابلیت اطمینان کمتری دارد. با توجه به اینکه متغیرهای تصادفی به صورت نرمال در نظر گرفته شده‌اند، لذا با افزایش میزان انحراف معیار، پراکندگی افزایش یافته و میزان قابلیت اطمینان آستانه وقوع فلاٹر کاهش می‌یابد.

۴- نتیجه‌گیری

امروزه، استفاده از مواد کامپوزیتی به عنوان ماده انتخابی به جای مواد فلزی در بسیاری از کاربردهای فناوری مشاهده می‌شود. با توجه به اینکه بررسی قابلیت اطمینان و عدم قطعیت در متغیرهای طراحی مواد کامپوزیتی در مسائل آیروالاستیستیک کمتر مورد توجه قرار گرفته است، در کار حاضر قابلیت اطمینان فلاٹر صفحه چند لایه کامپوزیتی متقارن با لایه چینی‌ها و شرایط مرزی مختلف با استفاده از روش شبیه‌سازی مونت کارلو و روش عددی دیفرانسیل مربعی تعمیم یافته به دست آورده شده است. نتایج

سر لولا دارای بی‌شرطین مقدار قابلیت اطمینان آستانه وقوع فلاٹر و صفحه کامپوزیتی با لایه چینی $[-\theta/+θ/-\theta]$ و شرایط مرزی چهارسرگیردار دارای کمترین مقدار قابلیت اطمینان آستانه وقوع فلاٹر است.

به منظور بررسی تعداد لایه‌های صفحه کامپوزیتی بر رفتار آیروالاستیک آن، در جدول ۴ فشار آبرودینامیکی بی بعدشده بحرانی فلاٹر، قابلیت اطمینان و عدم قطعیت آستانه وقوع فلاٹر برای صفحه کامپوزیتی متقارن با زاویه الیاف ۳۰ درجه و شرایط مرزی تمام لولا برای تعداد لایه‌های ۲، ۴، ۸ و ۱۰ آورده شده است. همان‌طور که از جدول ۴ مشخص است افزایش تعداد لایه‌ها در صفحه کامپوزیتی سبب کاهش قابلیت اطمینان آستانه وقوع فلاٹر و افزایش عدم قطعیت می‌شود.

با توجه به جدول‌های ۲ تا ۴، مشخص است که فشار آبرودینامیکی بی بعدشده بحرانی فلاٹر با مقدار قابلیت اطمینان آستانه وقوع فلاٹر صفحه کامپوزیتی نسبت عکس دارد و هر جا که فشار آبرودینامیکی بی بعدشده

جدول ۴. فشار آبروودینامیکی بی بعدشده بحرانی فلاوتر، قابلیت اطمینان و عدم قطعیت فلاوتر برای صفحه کامپوزیتی متقارن با شرایط مرزی تمام لولا و تعداد لایه های ۲، ۴، ۶، ۸ و ۱۰

Table 4. Critical dimensional aerodynamic pressure of the flutter, reliability, and uncertainty of the flutter for a composite plate symmetrical with SSSS boundary conditions and number of 2,4,6 and, 8 laminates

عدم قطعیت	قابلیت اطمینان	فشار بحرانی بی بعد
%۴/۶۹	%۹۵/۳۱	۱۱۹/۵۸۰۰
%۴/۲۵	%۹۲/۷۵	۱۸۹/۹۷۰۴
%۹/۱۳	%۹۰/۸۷	۲۴۸/۶۰۰۱
%۱۰/۶۴	%۸۹/۳۶	۲۶۶/۸۱۹۷
%۱۲/۸۶	%۸۷/۱۴	۲۷۸/۹۷۰۵

۵- فهرست علائم

ماتریس سختی کششی	<i>A</i>
طول صفحه	<i>a</i>
ماتریس سختی کششی-خمشی	<i>B</i>
عرض صفحه	<i>b</i>
ماتریس سختی خمشی	<i>D</i>
مدول الاستیسیته، N/m^2	<i>E</i>
مدول برش	<i>G</i>
تابع هدف	$g(x)$
ضخامت صفحه، متر	<i>h</i>
ماتریس همانی	<i>I</i>
کرنش های خمشی	<i>k</i>
گشتاور خارج از صفحه	<i>M</i>
نیروی میان صفحه	<i>N</i>
تعداد کل سیکل های شبیه سازی شده	<i>Nf</i>
فشار آبروودینامیکی ناپایدار	<i>p</i>
عدم قطعیت	P_f
ضرایب سختی	<i>Q</i>
فشار آبروودینامیکی	<i>q</i>
قابلیت اطمینان	<i>R</i>
زمان	<i>t</i>
سرعت جریان آزاد	<i>U</i>
جابجایی خط میانی صفحه در راستای طولی	u_0
جابجایی خط میانی صفحه در راستای عرضی	v_0
جابجایی خط میانی صفحه در راستای ضخامت	w_0
شاخص قابلیت اطمینان	β
درجات آزادی نقاط دامنه	δ
مؤلفه کرنش	ε
بردار کرنش های غشایی	ε^0

به دست آمده توانایی روش شبیه سازی مونت کارلو را برای بررسی قابلیت اطمینان آستانه وقوع فلاوتر صفحه چند لایه کامپوزیتی نشان می دهد. با توجه به نتایج ارائه شده هر چه شرایط مرزی صفحه به سمت شرایط مرزی گیردار می رود مقدار قابلیت اطمینان آستانه وقوع فلاوتر صفحه چند لایه کامپوزیتی کاهش می یابد و با افزایش زاویه الیاف صفحه کامپوزیتی قابلیت اطمینان آستانه وقوع فلاوتر صفحه افزایش می یابد. همچنین افزایش تعداد لایه ها در صفحه کامپوزیتی سبب کاهش قابلیت اطمینان آستانه وقوع فلاوتر می شود. با توجه به نتایج ارائه شده در این مقاله، مشخص است که فشار آبروودینامیکی بی بعدشده بحرانی فلاوتر با مقدار قابلیت اطمینان آستانه وقوع فلاوتر صفحه کامپوزیتی نسبت عکس دارد و هر جا که فشار آبروودینامیکی بی بعدشده بحرانی فلاوتر دارای مقدار بالاتری است مقدار قابلیت اطمینان کمتری دارد. در بررسی آستانه وقوع فلاوتر برای صفحه کامپوزیتی متقارن با زاویه الیاف ۳۰ درجه و شرایط مرزی تمام لولا برای تعداد لایه های ۲، ۴، ۶، ۸ و ۱۰ مشخص شد افزایش تعداد لایه ها در صفحه کامپوزیتی سبب کاهش ۸ درصدی قابلیت اطمینان آستانه وقوع فلاوتر خواهد شد. نتایج به دست آمده توانایی روش پیشنهادی را برای بررسی قابلیت اطمینان آستانه وقوع فلاوتر صفحه کامپوزیتی دو بعدی نشان می دهد. با توجه به نتایج ارائه شده مقدار قابلیت اطمینان آستانه وقوع فلاوتر صفحه دو بعدی با شرایط مرزی تمام لولا از سایر شرایط مرزی بیشتر است. با توجه به اینکه در مسئله واقعی قابلیت اطمینان از مقادیر حاصل شده بیشتر خواهد بود، انتظار می رود با در نظر گرفتن حاشیه اطمینان به این مهم در طراحی دست یافت.

- | | |
|---|---|
| series A and B, 19 (1998) 503-505. | پارامتر بی بعد راستای عرض
η |
| [10] D. Liaw, H.T. Yang, Reliability and nonlinear supersonic flutter of uncertain laminated plates, AIAA journal, 31(12) (1993) 2304-2311. | فشار آبرودینامیکی بحرانی فلاتر
λ_c |
| [11] D. Liaw, H.T. Yang, Reliability of uncertain laminated shells due to buckling and supersonic flutter, AIAA journal, 29(10) (1991) 1698-1708. | فرکانس طبیعی
ω |
| [12] S. Pourzeynali, T. Datta, Reliability analysis of suspension bridges against flutter, Journal of Sound and Vibration, 254(1) (2002) 143-162. | نسبت پواسون
ν |
| [13] Y. Ge, H. Xiang, H. Tanaka, Application of a reliability analysis model to bridge flutter under extreme winds, Journal of Wind Engineering and Industrial Aerodynamics, 86(2-3) (2000) 155-167. | اختلاف زاویه با دستگاه اصلی
Θ |
| [14] J. Cheng, R.-c. Xiao, Probabilistic free vibration and flutter analyses of suspension bridges, Engineering structures, 27(10) (2005) 1509-1518. | تابع توزیع
ϕ |
| [15] P.K. Swain, N. Sharma, D.K. Maiti, B.N. Singh, Aeroelastic analysis of laminated composite plate with material uncertainty, Journal of Aerospace Engineering, 33(1) (2020) 04019111. | چگالی جرمی سیال
ρ |
| [16] G. Shanthini, A. Pankaj, M. Manjuprasad, Flutter Reliability Studies of a Swept Back Plate, in: Recent Advances in Structural Engineering, Volume 1, Springer, 2019, pp. 537-550. | مؤلفه تنش
σ |
| [17] E. Sadeghian, S. Toosi, Reliability analysis of a composite laminate using estimation theory, Journal of Central South University, 26(3) (2019) 665-672. | پارامتر بی بعد زمان
τ |
| [18] M. Farsi, V. Khalafi, Reliability analysis of flutter threshold for an isotropic panel with different boundary conditions, Journal of Aeronautical Engineering, 20(2) (2019) 67-74 (in Persian). | پارامتر بی بعد راستای طول
ζ |
| [19] S. Kumar, A.K. Onkar, M. Manjuprasad, Stochastic Modeling and Reliability Analysis of Wing Flutter, Journal of Aerospace Engineering, 33(5) (2020) 04020044. | |
| [20] S. Shufang, L. Zhenzhou, Z. Weiwei, Y. Zhengyin, Reliability and sensitivity analysis of transonic flutter using improved line sampling technique, Chinese Journal | |

منابع

- [1] R.L. Bisplinghoff, H. Ashley, Principles of aeroelasticity, Courier Corporation, 2013.
- [2] J.W. Sawyer, Flutter and buckling of general laminated plates, Journal of Aircraft, 14(4) (1977) 387-393.
- [3] J.F. Abbas, R. Ibrahim, R.F. Gibson, Nonlinear flutter of orthotropic composite panel under aerodynamic heating, AIAA journal, 31(8) (1993) 1478-1488.
- [4] G. Cheng, C. Mei, Finite element modal formulation for hypersonic panel flutter analysis with thermal effects, AIAA journal, 42(4) (2004) 687-695.
- [5] M. Kouchakzadeh, M. Rasekh, H. Haddadpour, Panel flutter analysis of general laminated composite plates, Composite Structures, 92(12) (2010) 2906-2915.
- [6] J. Fazilati, V. Khalafi, Aeroelastic panel flutter optimization of tow-steered variable stiffness composite laminated plates using isogeometric analysis, Journal of Reinforced Plastics and Composites, 38(19-20) (2019) 885-895.
- [7] J. Cheng, C. Cai, R.-c. Xiao, S. Chen, Flutter reliability analysis of suspension bridges, Journal of Wind Engineering and Industrial Aerodynamics, 93(10) (2005) 757-775.
- [8] Z.-G. Wu, C. Yang, Modeling and robust stability for aeroservoelastic systems with uncertainties, Acta Aeronautica et Astronautica Sinica, 24(4) (2003) 312-316.
- [9] Y. Liu, K. Chen, D. Zheng, Flutter reliability analysis of wing structure, Acta Aeronautica et astronautica sinica-

Composite Structures, 88(3) (2009) 380-387.

- [24] C. Shu, Differential quadrature and its application in engineering, Springer Science & Business Media, 2012.
- [25] M.R. KAMYAB, M. Fadaee, Reliability assessment of structures by Monte Carlo simulation and neural networks, Asian journal of civil engineering, (2012).

of Aeronautics, 22(5) (2009) 513-519.

- [21] W. Soedel, M.S. Qatu, Vibrations of shells and plates, in, Acoustical Society of America, 2005.
- [22] R.M. Christensen, Mechanics of composite materials, Courier Corporation, 2012.
- [23] K.-J. Sohn, J.-H. Kim, Nonlinear thermal flutter of functionally graded panels under a supersonic flow,

چگونه به این مقاله ارجاع دهیم

M. Javadi, V. Khalafi, Flutter reliability analysis of laminated composite plates, Amirkabir J. Mech Eng., 53(Special Issue 6)(2021) 3925-3938.

DOI: [10.22060/mej.2021.19234.6982](https://doi.org/10.22060/mej.2021.19234.6982)



